

Сферические гармоники для моделирования квазипериодических временных рядов

Тихонов Денис Максимович

Московский физико-технический институт
Факультет управления и прикладной математики
Кафедра интеллектуальных систем

2021 г.

Сферические гармоники для моделирования квазипериодических временных рядов

Цель работы. Построение модели аппроксимации квазипериодического временного ряда в фазовом пространстве с использованием сферических гармоник.

Проблема. При анализе квазипериодических временных рядов возникает необходимость построения устойчивой модели фазовой траектории в декартовых или сферическом координатах.

Изменяющиеся характерные частоты и амплитуды сигналов приводят к неустойчивости оценок параметров моделей.

Требуется:

- 1 предложить способ понижения размерности фазового пространства;
- 2 разработать метод аппроксимации устойчивый к шумам, изменению частоты и амплитуды сигнала;
- 3 предложить метод отыскания фазы сигнала.

Литература

- ① Усманова К. Р. и др. (2020) **Аппроксимация фазовой траектории квазипериодических сигналов методом сферической регрессии** // *Вестник Московского университета. Серия 15: Вычислительная математика и кибернетика*
- ② **Автоэнкодер для определения фазы сигнала**
Jatesiktat P., Ang W. T. (2017). Unsupervised Phase Extraction Using Dual Autoencoder. // *2017 International Conference on Advanced Computing and Applications*
- ③ **Обнаружение периодов для сегментации биомедицинских сигналов**
Motrenko A., Strijov V. (2015) Extracting fundamental periods to segment biomedical signals // *IEEE journal of biomedical and health informatics*
- ④ **Сферические гармоники для параметризации поверхности сферы**
Nortje C., Ward W., Neuman B., Li Bai, (2015) Spherical Harmonics for Surface Parametrisation and Remeshing // *Mathematical Problems in Engineering*

Задача аппроксимации фазовой траектории

Задачи: $t \mapsto \mathbf{x} \mapsto \mathbb{H}_s^n \rightarrow \mathbb{H}_x^p \rightarrow \mathbb{S}_z^p \hookrightarrow [0, 2\pi)$

\mathbb{H}_s^n — исходное фазовое пространство;

\mathbb{H}_x^p — фазовое подпространство в декартовых координатах;

\mathbb{S}_z^p — фазовое подпространство в сферических координатах.

Требуется построить:

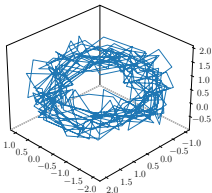
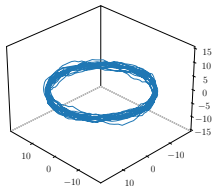
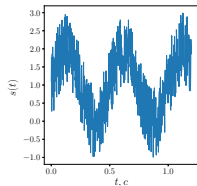
- 1 модель $g(\cdot)$, аппроксимирующую фазовую траекторию

$$g : \mathbb{R}^{q_1} \times \mathbf{A} \rightarrow \mathbb{S}_z^p,$$

- 2 модель $f(\cdot)$, восстанавливающую фазу сигнала

$$f : \mathbb{R}^{q_2} \times \mathbb{S}_z^p \rightarrow [0, 2\pi),$$

где q_1, q_2 - число параметров модели,
 $\mathbf{A} = [0, \pi] \times [0, 2\pi) \times \dots \times [0, 2\pi)$.



Методы построения фазового пространства

- 1 Метод задержек для построения фазовой траектории

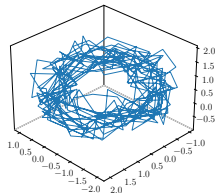
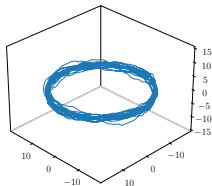
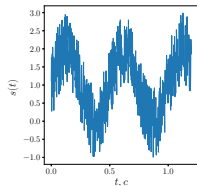
$$\mathbf{S} = \begin{bmatrix} s_1 & \dots & s_n \\ s_2 & \dots & s_{n+1} \\ \vdots & \ddots & \vdots \\ s_{N-n+1} & \dots & s_N \end{bmatrix} = \begin{bmatrix} \mathbf{s}_1 \\ \mathbf{s}_2 \\ \vdots \\ \mathbf{s}_{N-n+1} \end{bmatrix}, \quad \mathbf{s}_i \in \mathbb{H}_s^n$$

где n — ширина окна;

- 2 Метод PCA для построения фазового подпространства меньшей размерности $p \ll n$.

$$\mathbf{X} = \mathbf{S}\mathbf{W} = \begin{bmatrix} \mathbf{x}_1 \\ \mathbf{x}_2 \\ \dots \\ \mathbf{x}_{N-n+1} \end{bmatrix}, \quad \mathbf{x}_i \in \mathbb{H}_p^x,$$

где \mathbf{W} — матрица вращения.



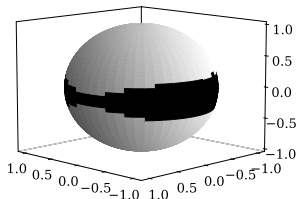
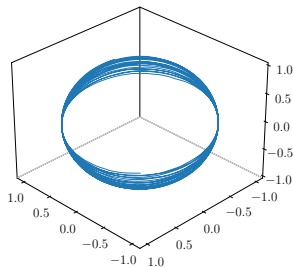
Сферическое представление фазовой траектории

- 1 Предполагается, что структура модели проще в сферических координатах.
- 2 В полученном подпространстве $\mathbb{X} \subseteq \mathbb{R}^p$ строится отображение из декартовых координат в сферические:

$$\phi : \mathbf{x} \rightarrow \mathbf{z} = [r, \alpha_{p-1}, \dots, \alpha_1], \quad \mathbf{a} = [\alpha_{p-1}, \dots, \alpha_1]$$

.

- 3 Точки \mathbf{a} задают функцию $f_{\text{real}}(\mathbf{a}(t))$ $t \in [0, +\infty)$ на поверхности сферы \mathbb{S}^{p-1} .



Аппроксимация сферическими гармониками

1. Предлагается аппроксимировать фазовую траекторию на поверхности сферы с помощью сферических гармоник:

$$f_{sp}(\mathbf{w}_{sp}, \mathbf{a}) = \sum_{l_{p-1}=0}^{N_{\text{approx}}} \sum_{l_{p-2}=0}^{l_{p-1}} \dots \sum_{l_1=-l_2}^{l_2} w_{l_{p-1}, \dots, l_1} Y_{l_{p-1}, \dots, l_1}(\mathbf{a})$$

2. Базисные функции представимы в виде

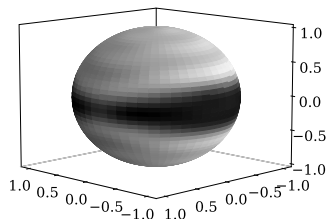
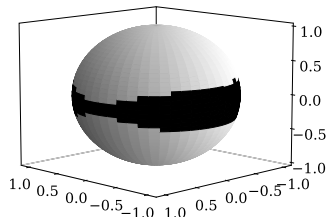
$$Y_{l_{p-1}, \dots, l_1}(\mathbf{a}) = \left[\prod_{k=2}^{p-1} \bar{P}_{l_k}^{l_{p-1}}(\alpha_k) \right] \frac{1}{\sqrt{2\pi}} \exp(i l_1 \alpha_1)$$

, где l_{p-1}, \dots, l_1 - индексы удовлетворяющие

$$l_{p-1} \geq l_{p-2} \geq \dots \geq l_2 \geq |l_1|.$$

3. Решается задача

$$\hat{\mathbf{w}}_{sp} = \arg \min_{\mathbf{w}_{sp}} \|f_{\text{real}}(\mathbf{a}(t)) - f_{sp}(\mathbf{w}_{sp}, \mathbf{a}(t))\|^2$$

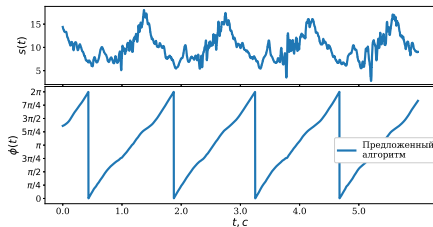
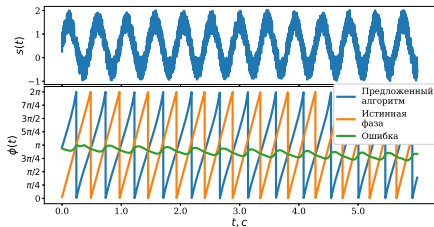


Восстановление фазы сигнала

Предлагается восстанавливать фазу сигнала с помощью автоэнкодера в фазовом сферическом подпространстве:

$$\phi(t) = \sigma(\mathbf{W}_{\text{enc}}\mathbf{a}(t) + \mathbf{b}_{\text{enc}}), \quad \hat{\mathbf{a}}(t) = \sigma(\mathbf{W}_{\text{dec}}\phi(t) + \mathbf{b}_{\text{dec}}).$$

С решением в виде $\mathbf{W}_{\text{enc}} = \arg \min \|\mathbf{a}(t) - \hat{\mathbf{a}}(t)\|_2^2$.



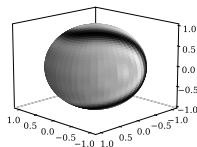
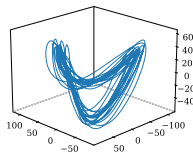
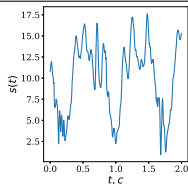
Качество аппроксимации на реальных данных с акселерометра

Временной ряд

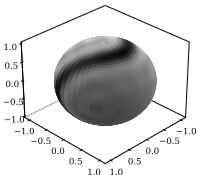
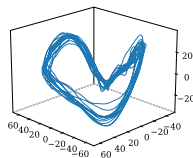
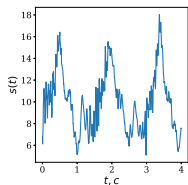
Фазовая траектория
в 3D

Аппроксимация гар-
мониками

Велопрогулка



Приседания



Заключение

Предложенная композиция методов позволяет уменьшить количество параметров с нескольких тысяч, в случае с полноценным автоэнкодером, до нескольких сотен. В частности:

- 1 Предложен метод построения и уменьшения фазового пространства. Метод построения векторов задержек и разложения на главные компоненты;
- 2 Предложен метод аппроксимации фазовой траектории в сферических координатах произвольной размерности с использованием сферических гармоник;
- 3 Разработан метод восстановления фазы основанный на автоенкодере в пространства углов.